ANÁLISE DE CONFIABILIDADE E OTIMIZAÇÃO DO PROCESSO DE DESIDRATAÇÃO MECÂNICA DE LODO EM ESTAÇÕES DE TRATAMENTO DE ESGOTO

RELIABILITY ANALYSIS AND OPTIMIZATION OF THE SLUDGE MECHANICAL DEWATERING PROCESS IN WASTEWATER TREATMENT PLANTS

BRUNO FERNANDES DE HOLANDA

CIA. SANEAMENTO BÁSICO DO ESTADO DE SÃO PAULO - SABESP

Comunicação:

O XIII SINGEP foi realizado em conjunto com a 13th Conferência Internacional do CIK (CYRUS Institute of Knowledge), em formato híbrido, com sede presencial na UNINOVE - Universidade Nove de Julho, no Brasil.

ANÁLISE DE CONFIABILIDADE E OTIMIZAÇÃO DO PROCESSO DE DESIDRATAÇÃO MECÂNICA DE LODO EM ESTAÇÕES DE TRATAMENTO DE ESGOTO

Objetivo do estudo

Analisar a confiabilidade do processo de desidratação mecânica de lodo numa estação de tratamento de esgotos, identificando modos de falha e propondo ações para otimizar desempenho, disponibilidade e qualidade do lodo desidratado.

Relevância/originalidade

O estudo aborda um processo crítico em estações de tratamento, combinando FMEA e Machine Learning para prever falhas e propor melhorias, contribuindo para a eficiência operacional e sustentabilidade ambiental.

Metodologia/abordagem

Utiliza análise quantitativa de falhas, mapeamento funcional, aplicação de FMEA e algoritmos de Machine Learning (Decision Tree e KNN) para prever falhas e propor ações corretivas e preventivas.

Principais resultados

Identificou componentes críticos como filtros prensa, bombas e misturadores. Decision Tree obteve 88% de acurácia na previsão de falhas. Parâmetros físico-químicos foram os mais influentes na confiabilidade do processo.

Contribuições teóricas/metodológicas

Integra técnicas tradicionais de confiabilidade com inteligência artificial, demonstrando eficácia na priorização de falhas e na previsão de anomalias operacionais, ampliando o escopo metodológico em engenharia de manutenção.

Contribuições sociais/para a gestão

Propõe estratégias de manutenção preditiva e ajustes operacionais que aumentam a confiabilidade, reduzem custos e promovem sustentabilidade, alinhando-se às exigências legais e às boas práticas de gestão de ativos.

Palavras-chave: Gestão da Manutenção, FMEA (Análise de Falhas), Machine Learning Aplicado, Otimização de Processos, Manutenção Centrada em Confiabilidade (MCC)

RELIABILITY ANALYSIS AND OPTIMIZATION OF THE SLUDGE MECHANICAL DEWATERING PROCESS IN WASTEWATER TREATMENT PLANTS

Study purpose

Analyze the reliability of the sludge mechanical dewatering process in a wastewater treatment plant, identifying failure modes and proposing actions to optimize performance, availability, and final sludge quality.

Relevance / originality

The study addresses a critical process in treatment plants, combining FMEA and Machine Learning to predict failures and propose improvements, contributing to operational efficiency and environmental sustainability.

Methodology / approach

Uses quantitative failure analysis, functional mapping, FMEA application, and Machine Learning algorithms (Decision Tree and KNN) to predict failures and propose corrective and preventive actions.

Main results

Identified critical components such as plate filters, pumps, and mixers. Decision Tree achieved 88% accuracy in failure prediction. Physicochemical parameters were most influential in process reliability.

Theoretical / methodological contributions

Integrates traditional reliability techniques with artificial intelligence, demonstrating effectiveness in failure prioritization and anomaly prediction, expanding methodological scope in maintenance engineering.

Social / management contributions

Proposes predictive maintenance strategies and operational adjustments that enhance reliability, reduce costs, and promote sustainability, aligned with legal requirements and asset management best practices.

Keywords: Maintenance Management, FMEA (Failure Mode and Effects Analysis), Applied Machine Learning, Process Optimization, Reliability-Centered Maintenance (RCM)





ANÁLISE DE CONFIABILIDADE E OTIMIZAÇÃO DO PROCESSO DE DESIDRATAÇÃO MECÂNICA DE LODO EM ESTAÇÕES DE TRATAMENTO DE ESGOTO

1 Introdução

A eficiência do processo de desidratação de lodo em ETE's de grande porte é fundamental, visto que é uma das principais etapas da fase sólida do tratamento, onde a matéria orgânica removida na forma de lodo é condicionada e reduzida a fim de possibilitar sua disposição final de maneira econômica e sustentável. A qualidade e produtividade do lodo desidratado são altamente relevantes no desempenho de uma ETE pelo fato de influenciarem em diversos fatores como custos relacionados ao descarte e/ou transporte, a qualidade de processos intermediários ou impacto ambiental causado pelo seu descarte.

A ETE São Miguel, localizada na zona leste da região metropolitana de São Paulo, operada pela Sabesp, é uma estação de grande porte que trata cerca de 1800L/s de efluentes, atendendo cerca de 720 mil famílias e possui um sistema de DML (Desidratação Mecânica de Lodo), composto por 2 equipamentos principais denominados filtros-prensa de placas. Este processo funciona através de uma rede de componentes que preparam e manipulam o volume de lodo em condições adequadas para o processo de desidratação pelos filtros-prensa, que fornecerá o produto final: lodo desidratado.

Por se tratar de um processo crítico e de alta produção, é necessário assegurar que o DML apresente confiabilidade satisfatória, tanto do ponto de vista de estar apto a funcionar ao ser requerido, quanto da sua capacidade de remover lodo do sistema de tratamento em quantidade suficiente e em condições adequadas para o descarte. No entanto, o sistema operado na ETE São Miguel sofre com frequentes interrupções causadas por falhas nos equipamentos e perdas no processo decorrentes de baixa produtividade ou má qualidade do lodo desidratado.

O objetivo desse estudo é realizar a análise de confiabilidade do DML da ETE São Miguel e a investigação dos principais modos de falha que comprometem tanto sua disponibilidade como o produto final, de modo que por fim, seja possível propor ações visando otimizar o desempenho do processo.

As etapas do trabalho consistem no levantamento e análise dos dados de falha do sistema de modo a compreender seus pontos críticos acerca de confiabilidade, e em seguida, na aplicação de ferramentas como FMEA e Machine Learning para identificação e tratamento de suas principais causas.

Ao final deste trabalho, espera-se concluir que com a análise de confiabilidade do processo de desidratação de lodo será possível identificar os componentes mais críticos e suscetíveis a falhas, bem como sugerir melhorias nas práticas de manutenção e operação.

2 Referencial Teórico

A seguir, são apresentados conceitos considerados relevantes para o desenvolvimento do trabalho:

1.1. Tratamento de Esgoto e Desidratação de Lodo

As ETE's reproduzem, através de processos físicos, químicos e/ou biológicos, em curto período, condições necessárias e suficientes, normalmente encontradas na natureza em corpos hídricos receptores tais como rios, lagos e banhados), para promover a decomposição da matéria orgânica presente nos esgotos. Ao final do processo, tanto a fase líquida quanto a sólida devem estar aptas, segundo legislação ambiental impostos pelo padrão de saúde da Resolução CONAMA nº 357/2005.



A Sabesp adota diferentes processos para tratamento dos esgotos, variando em função do tipo e situação do efluente. Assim, o esgoto bruto pode ser submetido a diferentes níveis de tratamento: preliminar, primário, secundário e terciário. No Brasil, a maioria das ETE's realiza o tratamento até o nível secundário, sendo raros os casos em que é adotado o terciário. (ReCESA, 2013).

Predominantemente, as ETE's operadas pela Sabesp utilizam o processo de lodo ativado, como demonstrado na figura 1:

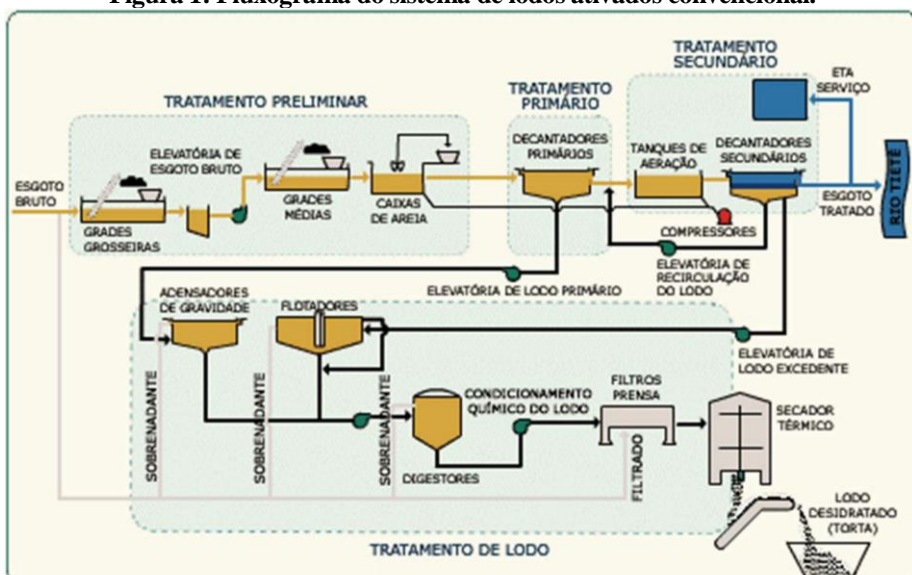


Figura 1: Fluxograma do sistema de lodos ativados convencional.

Fonte: Sabesp (2021)

O lodo consiste de um semissólido que pode ser produzido a partir de uma variedade de processos industriais. O tratamento de esgotos é um dos principais processos geradores de lodo.

O objetivo da desidratação de lodo é concentrá-lo de modo confiável e eficiente em aglomerados com alta concentração de sólidos para uma eliminação viável e econômica. O descarte do lodo é regido por regulamentos rigorosos, orientados por objetivos de sustentabilidade e diretrizes legais dos locais onde essas instalações operam (Micronics, 2024).

A figura 2 mostra o lodo digerido (esquerda) a ser processado e o pátio de lodo desidratado (direita):



Figura 2: Lodo de ETE antes e após o processo de desidratação.

Fonte: Autor (2024)

Um dos principais métodos utilizados no processo de desidratação de lodo a é utilização de equipamentos conhecidos como filtro prensa, que são constituídos de conjuntos seriados de placas revestidas por mantas de filtragem. Cada placa possui cavidades em suas faces e forma câmaras



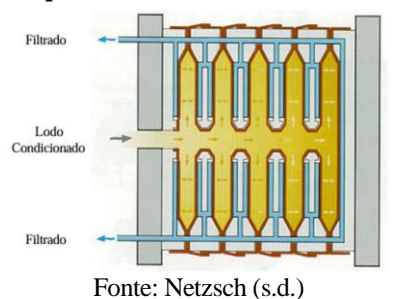
que acondicionam o lodo a ser prensado (lodo condicionado). À medida que o filtro é preenchido, a pressão interna se eleva até um determinado limite, quando a umidade excedente (filtrado) flui por vias de drenagem das placas (Miki, 1998).

As figuras 3 e 4 mostram, respectivamente os filtros prensa analisados neste estudo e uma ilustração básica do seu princípio de funcionamento.

Figura 3: Filtro-prensa de placas.

Fonte: Autor (2024)

Figura 4: Esquema de funcionamento do filtro prensa.



1.2. Confiabilidade

A definição de confiabilidade pode ser descrita como: "Capacidade de um item desempenhar uma função especificada, sob condições e intervalo de tempo pré-determinado" (ABNT NBR 5462, 1994).

A confiabilidade pode ser modelada matematicamente por diferentes métodos, e alguns deles são explorados por Lewis (1987). Um modelo é a distribuição de Weibull (Figura 5), que é amplamente usada devido à sua flexibilidade em representar diferentes padrões de falha. As equações 1 e 2 representam o modelo matemático, onde R(t) é a confiabilidade em função do tempo (t), e λ representa a taxa de falhas obtida em função do tempo médio entre falhas (MTBF).

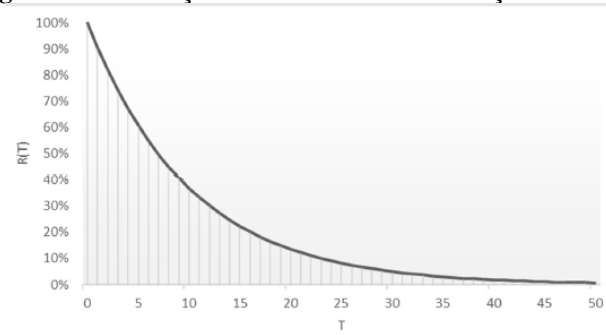


Figura 5: Distribuição de confiabilidade em função do tempo.

Fonte: Autor (2024)





CIK 13th INTERNATIONAL CONFERENCE

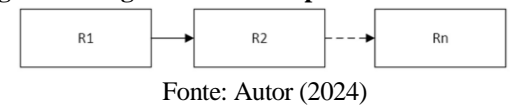
$$R_{(t)} = e^{-\lambda . t}$$
 Equação (1)

$$\lambda = \frac{1}{MTBF}$$
 Equação (2)

Na análise de sistemas complexos, utiliza-se o diagrama de blocos para visualizar e determinar como os componentes afetam a confiabilidade global do sistema. No diagrama, cada bloco representa um componente ou subsistema, e as configurações de serie ou paralelo refletem o impacto de suas falhas no sistema inteiro.

Componentes em serie indicam que a falha de um único bloco pode causar a falha do sistema inteiro. A figura 6 exemplifica uma associação de sistemas em série, e a equação 3, seu modelo matemático.

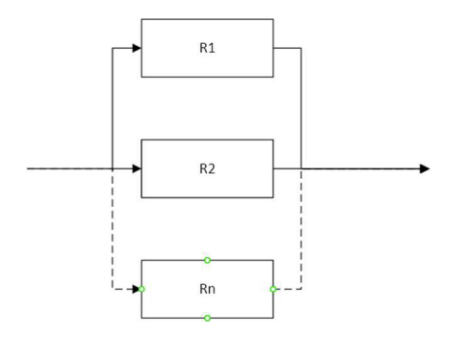
Figura 6: Diagrama de blocos para sistemas em série.



$$R_{S(t)} = \prod_{i=1}^{n} R_{i(t)}$$
 Equação (3)

Sistemas dispostos em paralelo, permite redundâncias, conforme mostrado na figura 7, melhorando a confiabilidade total do sistema. A equação 4 modela a confiabilidade total do sistema neste modelo.

Figura 7: Diagrama de blocos para sistemas em paralelo.



Fonte: Autor (2024)

$$R_{S(t)} = 1 - \prod_{i=1}^{n} [1 - R_{i(t)}]$$
 Equação (4)

De acordo com Oliveira (2006), a confiabilidade de uma ETE pode dada pela parcela de tempo em que se conseguem as concentrações esperadas no efluente para cumprir com os padrões de lançamento determinados pelas legislações ambientais. Portanto, entende-se que uma falha no processo de tratamento ocorre sempre que tais parâmetros são excedidos.

O comportamento do processo de tratamento de esgoto depende de constantes variações no efluente a ser tratado. Por isso, a confiabilidade de uma ETE é igualmente baseada no conhecimento acerca das condições operacionais de cada uma de suas etapas.

1.3. Análise de Modos e Efeitos de Falha

A Análise de Modos e Efeitos de Falha (FMEA), tem como objetivo prever efeitos indesejados em processos e produtos, de modo a identificar e priorizar ações que impeçam sua ocorrência. Para a manutenção, essa ferramenta pode ser aplicada em estudos de MCC



us ações propostas pormalmente se encaivam na

(Manutenção Centrada em Confiabilidade) e as ações propostas normalmente se encaixam na definição das estratégias a serem adotadas nos ativos físicos dos sistemas abordados.

Viana (2022) afirma que a aplicação do FMEA em MCC se justifica pelo fato de que aborda o problema partindo da causa para o efeito, além de atender à necessidade de documentação dos passos empregados durante a análise.

De acordo com Rech et. al. (2013), a elaboração do FMEA é constituída de duas etapas fundamentais: (i) Análise das falhas, (ii) Implementação de ações.

Primeiramente são levantadas informações dos modos e efeitos de falha e elencadas num formulário de avaliação, exemplificado na tabela 1.

Tabela 1: Formulário de avaliação FMEA.

		maiano ac a		3							
F	MEA - ANÁLIS	EDE MODOS DE FALI	IA E	SEUS EFEITOS					\Box		
FMEA PROJETO/PROCESSO	ÀREAS ENVO	DLVIDAS		APROVAÇÃO CLIENTE							
PROCESSO/PRODUTO	CLIENTE/PRO	CLIENTE/PROJETO									
RESPONSÁVEL DO PROJETO/MANUFATURA	EQUIPE										
ITEM/NOME/FUNÇÃO DO PROJETO/PROCESSO	MODO DE FALHA POTENCIAL	EFEITO DA FALHA POTENCIAL	SEVERIDADE	CAUSA POTENCIAL DE FALHA	OCORRÊNCIA	CONTROLE ATUAL DE PREVENÇÃO	CONTROLE ATUAL DE DETECÇÃO	DETECÇÃO	RISCO NPR		
		Recobrimento inadequado	5	Presença de partículas contaminantes	7			9	315		
Revestimento protetor: 6,1mm de cromo em aço carbono.	Composição i	Porosidades	8	Mistura inadequada	6			5	240		
		Acabamento superficial inadequado	6	Condensação inadequada	7			4	168		

Fonte: Rech et. al. (2013)

Em seguida são avaliados 3 índices (Ocorrência, Detecção e Severidade) aos quais são atribuídas notas de 0 a 10 conforme critérios estabelecidos e ilustrado na tabela 2. A multiplicação desses valores fornece o RPN (Risk Priority Number), um parâmetro numérico que varia de 0 a 1000 (Visto na equação 5) para priorização das falhas identificadas.

Tabela 2: Critérios para RPN.

Tubela 21 Citterios para Ita 10										
Classificação	Efeito	Severidade (S)	Ocorrência (O)	Detecção (D)						
10	Alto	Risco à saúde, segurança ou meio ambiente	Frequencia de falha desconhecida ou inaceitavelmente alta	Nenhum método de detecção é aplicado ou conhecido						
9		Não-conformidade regulatória	Falha certamente ocorrerá	Os métodos de detecção são pouco confiáveis						
8	Moderadamente Alto	Perda total da produção	Falha pode ocorrer frequentemente	Os métodos de detecção funcionam com pouca eficácia						
7		Perda significativa da produção	Falha pode ocorrer com certa frequencia							
6	Moderadamente	Não-conformidade total da produção (Retrabalho) com interrupção	Falha pode ocorrer ocasionalmente	Existem métodos de detecção eficazes						
5	Baixo	Não-conformidade significativa da produção (Retrabalho) com interrupção	Falha acontece raramente							
4		Não-conformidade total da produção (Retrabalho) sem interrupção	Falha acontece em casos isolados/específicos	Existem métodos de detecção						
3	Baixo	Não-conformidade significativa da produção (Retrabalho) sem interrupção	Falha acontece raramente, mas existem controles eficazes	eficazes e confiáveis						
2		Inconvenientes no processo	Não se espera que a falha ocorra	Os métodos de detecção são altamente eficazes e confiáveis						
1	Muito Baixo	Sem efeito	Falha provavelmente não ocorre	O modo defalha é detectados facilmente com antecedência						

Fonte: Adaptado de AIAG & VDA (2019)

RPN = S. O. D Equação (5)





Na segunda etapa, são propostas ações corretivas ou alterações de projeto visando diminuir a probabilidade ou consequência das falhas consideradas críticas, de acordo com a avaliação RPN.

A tabela 3 fornece um exemplo onde o valor RPN acima de 100 é considerado crítico.

Tabela 3: Quadro de avaliação de detecção.

					-											
ITEMNOME/FUNÇÃO DO PROJETO/PROCESSO	MODO DE FALHA POTENCIAL	EFEITO DA FALHA POTENCIAL	FINANCEIRO	IMAGEM	CAUSA POTENCIAL DE FALHA	OCORRÊNCIA	CONTROLE ATUAL DE DETECÇÃO OU PREVENÇÃO	DETECÇÃO	RISCO NPR	CONTROLE ATUAL DE PREVENÇÃO	CONTROLE ATUAL DE DETECÇÃO	FINANCEIRO	IMAGEM	OCORRÊNCIA	DETECÇÃO	RISCO NPR
		Falta identificada pelo cliente			Inexperiência do separador		Posteiror conferência dos itens									
	Item faltando	Pedido não atendido	2	5	Ajuste errado da quantidade de itens	7		4	89							
		Reclamação posterior			Caixa de produtos trocada											
		Geração de uma falta e uma sobra no estoque			Produtos semelhantes próximos		Posteiror conferência dos itens		0	Avaliação e ajuste dos endereços de	Supervisão e					
	Item trocado	Ingestão do produto errado pelo cliente	8	8	Mistura de caixas na separação	4		4		estoque	com implementação em até 30 dias	8	8	2	3	48
				Inexperiência do separador					Marcador indicando caixa sendo separada	ciii die 55 dia5						
Separar itens	Item sobrando	Erro de estoque			Ajuste emado da quantidade de itens		Posteiror conferência dos itens									
Separar iteris		Perda de 4 produto	4 3	Inexperiência do separador	7		4	97								
		Perda de venda posterior														
		Perda total do produto			Acondicioname nto do produto		Posteiror conferência dos itens			Treinamento do						
	Item quebrado	Perda de outros produtos junto	6	7	Sem proteção entre os itens	6	Análise visual	١	n	funcionário para um melhor manuseio e acondicionamento	Supervisão e líderes do setor, a partir da data	6	Ļ	5		65
	item quebrado	Pedido do cliente não atendido		,		0		3		dos produtos a partir da de aplicação continuame		0	,	9	2	05
		Reenvio de produto para o cliente								Padronização de atividades						
	Item vencido	Ingestão indevida pelo cliente Cliente	10	9	Inexperiência do separador	2		10	190	Treinamento do funcionário para verificação de datas	Supervisão e líderes do setor, a partir da data de aplicação e	10	9	1	7	67
		insatisfeito		l				ı		no produto	continuamente	1	ı	i l	ĺ	iΙ

Fonte: Rech et. al. (2013)

1.4. Machine Learning

O Machine Learning (ML), ou aprendizado de máquina, é uma subárea da inteligência artificial que permite que sistemas aprendam a partir de dados e façam previsões ou tomem decisões sem serem programados para isso explicitamente (Silva, 2020). Originalmente proposto por Arthur Samuel em 1959, o conceito se baseia na ideia de que os computadores podem melhorar seu desempenho em tarefas específicas analisando exemplos anteriores. No caso de previsão de falhas, o ML fornece modelos capazes de identificar padrões complexos de falhas potenciais que podem passar despercebidos em análises tradicionais.

Os modelos de aprendizado de máquina podem ser divididos em duas principais categorias: aprendizado supervisionado, onde o sistema é treinado com dados rotulados (entradas e saídas conhecidas), e aprendizado não supervisionado, que busca identificar padrões ocultos em dados não rotulados. Ambos os métodos têm aplicações relevantes para a detecção de falhas mecânicas, sendo usados para prever, detectar e até diagnosticar anomalias antes que elas se tornem críticas.

A previsão de falhas é essencial para a garantia da confiabilidade em sistemas mecânicos, e técnicas de ML, como Random Forest, K-Nearest Neighbors e Gradient Boosting, têm mostrado eficácia significativa na detecção de falhas em condições reais de operação (Ferreira et al., 2024).

Em um estudo recente, foi demonstrado que o modelo K-Nearest Neighbors se destacou na previsão de falhas em uma bancada didática mecânica, superando outros modelos devido à sua precisão e capacidade de identificar falhas como desalinhamento, desbalanceamento e folga mecânica (Ferreira et al.,2024). Com base na análise de dados de vibração, esses modelos ML



podem identificar padrões que indicam anomalias no desempenho de máquinas, o que permite intervenções preventivas e melhora a confiabilidade e disponibilidade dos equipamentos.

Mesmo com uma base de dados limitada, as técnicas de ML foram eficazes ao identificar falhas precocemente, demonstrando que o ML não só contribui para aumentar a segurança e eficiência operacional, mas também para reduzir os custos de manutenção e prolongar a vida útil dos equipamentos. Para o estudo em questão, foram escolhidos dois modelos de algoritmo: Decision Tree e KNearest Neighbors (KNN).

O Decision Tree funciona dividindo os dados em faixas de atributos e criando regras de decisão formando uma cadeia de derivações que se assemelham a estrutura de uma árvore, conforme explicitado na figura 8 por Xing et. al. (2020).

Figura 8: Modelo Árvore de Decisão (Decision Tree). Regression Tree Regression Tree Ensemble ▲ Input Input Tree 1 Tree N O put 1 Output 2 A Branch node Weighted sum Leaf node Regression tree Regression tree prediction ensemble prediction

Fonte: Xing et. al. (2020)

Já o método KNN (Figura 9) busca prever uma classe ou valor para um novo ponto de dados baseando-se em dados de treinamento que melhor se aproximem do novo ponto fornecido.

V-Aris

O O New example to classify

O Class A O Class B

O Class B

O Class B

O Class B

Figura 9: K-Nearest Neighbors (KNN).

Fonte: IBM (s.d.)

Ao final deste trabalho, espera-se concluir que com a análise de confiabilidade do processo de desidratação de lodo será possível identificar os componentes mais críticos e suscetíveis a falhas, bem como sugerir melhorias nas práticas de manutenção e operação.

3 Metodologia

Este trabalho pretende demonstrar a análise de confiabilidade do sistema de desidratação de lodo da ETE São Miguel através de uma abordagem quantitativa dos dados de falha, seguida da investigação acerca dos principais modos de falha e a indicação de ações que visem minimizá-las.

O estudo se inicia pela delimitação das fronteiras do processo, através do mapeamento dos subsistemas e componentes que o constituem e da descrição de suas respectivas funções. Em seguida, é preparado o estudo com o levantamento e mensuração dos dados de falha que causem indisponibilidade do sistema ou que afetem os resultados do produto final: lodo desidratado. Por

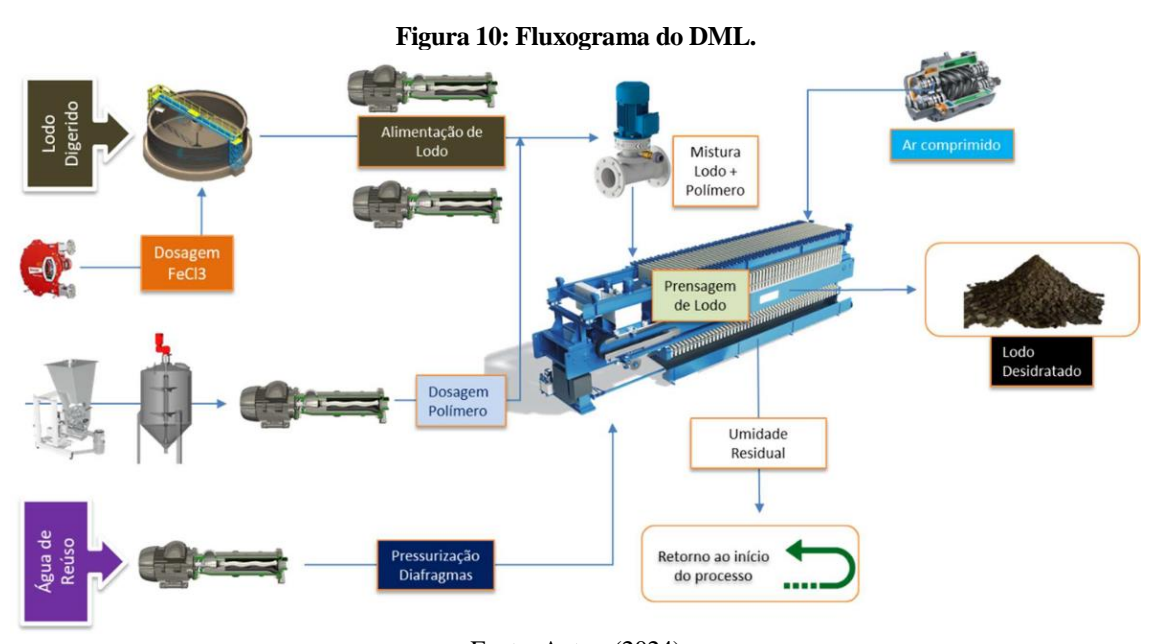


CIK 13th INTERNATIONAL CONFERENCE

fim, são aplicadas as ferramentas de FMEA e ML para identificar as principais causas de falha e propor ações mitigadoras.

1.5. Fronteiras do Processo

Inicialmente, é realizada a delimitação do processo de desidratação e seus subprocessos relacionando funções e falhas funcionais. A figura 10 e tabela 4 apresentam respectivamente, um fluxograma do processo de DML e a descrição de suas funções.



Fonte: Autor. (2024)

Tabela 4: Descrição funcional do DML.

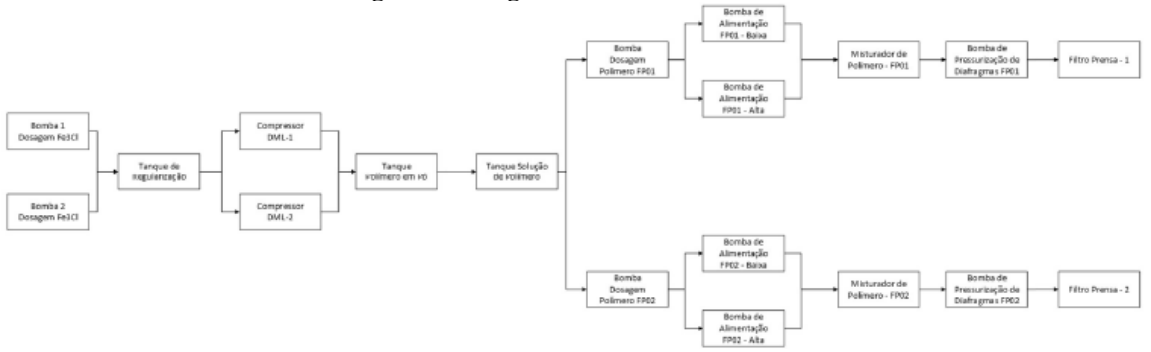
SUBSISTEMA	COMPONENTE	FUNÇÃO				
PRENSAGEM DE LODO	FILTRO PRENSA	Prensagem para aumento de concentração de lodo.				
ALIMENTAÇÃO DE LODO	BOMBA DE BAIXA PRESSÃO	Alimentação do Filtro Prensa em enchimento rápido.				
ALIMENTAÇÃO DE LODO	BOMBA DE ALTA PRESSÃO	Alimentação do Filtro Prensa em enchimento final.				
PRESSURIZAÇÃO DE DIAFRAGMAS	BOMBA DE PRESSURIZAÇÃO	Pressurização das placas do Filtro Prensa durante a prensagem.				
AR COMPRIMIDO	COMPRESSOR	Alimentação de comandos pneumáticos do sistema.				
	BOMBA DOSADORA Fe3Cl	Dosagem de Fe3Cl para floculação do lodo				
DOSAGEM Fe3Cl	MISTURADOR - TANQUE DE REGULARIZAÇÃO	Mistura Lodo-Fe3Cl para floculação do lodo				
	TANQUE - POLÍMERO EM PÓ	Armazenamento e dosagem de polímero para solução Armazenamento e dosagem de polímero dissolvido para dosagem				
DOSAGEM DE POLÍMERO	TANQUE - SOLUÇÃO DE POLÍMERO					
	BOMBA DOSADORA POLÍMERO	Dosagem de solução de polímero para floculação do lodo				
MISTURA LODO-POLÍMERO	MISTURADOR DE LINHA	Mistura de lodo e solução de polímero para floculação do lodo				

Fonte: Autor. (2024)

Uma vez determinado fluxograma e as funções dos sistemas, é possível elaborar o diagrama de blocos do processo de desidratação de lodo, representado na figura 11.



Figura 11: Diagrama de blocos do DML.



Fonte: Autor. (2024)

1.6. Preparação do Estudo

Os dados de falha referentes a indisponibilidade do sistema foram coletados através do banco de dados do sistema SAP-PM (Figura 12), sistema integrado de gestão empresarial (ERP), capaz de armazenar e controlar informações de parada.

A cada evento de manutenção ocorrido, é registrado uma Nota de Manutenção (NM), onde constam a informações da ocorrência, como: equipamento, local, data/hora de ocorrência etc. Esta NM é recebida pelo setor de manutenção e aprovada, tornando-se uma Ordem de Manutenção (OM), que compõe as tratativas e operações realizadas, bem como os registros de mão de obra empregada.

Figura 12: IW29-Lista de notas

Exibir not	as: lista de l	notas							
9948	BATT	La xill Nota 总态							
Nota	Ordem	Descrição	Denominação do loc.instalação	Local de instalação	A	Início avaria	HInicAv.	Fim da avaria	HFimAv
10748324	8000695387	ACOMPANHAMENTO LAVAGEM PLACAS DO FP-02	SISTEMA DE LAVAGEM DE PL.	100ETESMIGL1-DEL01-SLP01	C	07.08.2023	06:31:54	08.08.2023	12:00:0
10746725	8000695414	Banheiros sem iluminação	OBRA CIVIL	100ETESMIGL1-DEL01-OCV01	Z	08.08.2023	11:01:31	09.08.2023	16:30:0
10748847	8000695701	Bomba com baixo rendimento na vazão.	BOMBA ALIMENT, FILTRO PR.	100ETESMIGL1-DEL01-GBL02-BOM02	В	09.08.2023	08:54:45	09.08.2023	19:50:0
10748846	8000695703	bomba com baixo rendimento.	BOMBA ALIMENT. FILTRO PR.	100ETESMIGL1-DEL01-GBL01-BOM02	В	09.08.2023	05:56:08	09.08.2023	18:00:0
10749786	8000696698	Filtro-Prensa nº01 não está abrindo.	FILTRO PRENSA-1	100ETESMIGL1-DEL01-DL001-FPR01	Α	11.08.2023	12:18:03	11.08.2023	22:05:0
10750111	8000696699	Intermitência de vazão de lodo na Prensa	FILTRO PRENSA-2	100ETESMIGL1-DEL01-DLO01-FPR02	Α	12.08.2023	19:27:57	12.08.2023	19:38:0
10749812	8000697298	Restabelecimento do Lavador do FP-01	BARRA DE LAVAGEM-FILTRO-1	100ETESMIGL1-DEL01-SLP01-LAV01	8	11.08.2023	11:52:00	15.08.2023	20:05:0
10749818	8000697299	Acompanhamento de Lavagem FP-01	FILTRO PRENSA-1	100ETESMIGL1-DEL01-DLO01-FPR01	A	15.08.2023	13:54:10	16.08.2023	20:30:0
10751595	8000698113	FP01 não inicia após lavagem	FILTRO PRENSA-1	100ETESMIGL1-DEL01-DLO01-FPR01	Α	17.08.2023	05:49:11	17.08.2023	19:55:0
10752171	8000698649	Rompimento tubulação BB ench.final FP01	BOMBA ALIMENT, FILTRO PR	100ETESMIGL1-DEL01-GBL02-BOM01	В	18.08.2023	05:45:29	18.08.2023	20:00:0
10753347	8000699930	Carrinho deslocador de Placa do FP 1	FILTRO PRENSA-1	100ETESMIGL1-DEL01-DLO01-FPR01	Α	19.08.2023	20:02:06	20.08.2023	05:00:0
10753419	8000699936	Filtro-Prensa não está fechando	FILTRO PRENSA-1	100ETESMIGL1-DEL01-DLO01-FPR01	Α	20.08.2023	11:29:21	21.08.2023	19:30:0
10753344	8000699981	Medidor de Vazão (FIT - 1826)	FILTRO PRENSA-1	100ETESMIGL1-DEL01-DLO01-FPR01	Α	21.08.2023	09:14:43		00:00:0
10749817	8000699983	Reservatório de água para lavagem dos FP	SISTEMA DE LAVAGEM DE PL.	100ETESMIGL1-DEL01-SLP01	C	15.08.2023	05:47:20	15.08.2023	17:21:0
10754788	8000701167	Medidor de vazão de polímero falhando	FILTRO PRENSA-1	100ETESMIGL1-DEL01-DLO01-FPR01	Α	23.08.2023	08:25:49	02.11.2023	18:00:0
10754309	8000701168	Faha na totalização de lodo FP02	FILTRO PRENSA-2	100ETESMIGL1-DEL01-DLO01-FPR02	A	22.08.2023	08:56:00	22.08.2023	18:50:0
10754789	8000701174	Mangueira da válvula de ar da bomba	BOMBA ALIMENT, FILTRO PR	100ETESMIGL1-DEL01-GBL01-BOM01	В	22.08.2023	17:15:00	22.08.2023	19:35:0
10755535	8000702102	Mangueira Bomba Pressurização FP02	BOMBA PRESSURIZAÇÃO DIA	100ETESMIGL1-DEL01-GBX01-BOM02	В	23.08.2023	12:35:40	23.08.2023	15:00:0
10755631	8000702106	Troca elemento filtrante lavagem tela FP	BOMBEAMENTO LAVAGEM	100ETESMIGL1-DEL01-GBX02	C	25.08.2023	08:48:16	25.08.2023	18:00:0
10757208	8000703358	ACOMPANHAMENTO LAVAGEM PLACAS DO EP-01	ROMBA DE LAVAGEM-1	100FTFSMIGL1-DFL01-GRX02-ROM01	B	29.08.2023	08:26:03	29.08.2023	20:10:0

Fonte: SAP-PM Sabesp (2024)

Já as informações a respeito de falhas no processo foram levantadas por meio do diário de bordo operacional, que se trata de um relatório composto por formulários onde são registrados os parâmetros operacionais e resultados para cada ciclo de prensagem.

O diário de bordo (Tabela 5) fornece valores como tempo de ciclo de prensagem, vazão de lodo, polímero e cloreto férrico, quantidade de lodo produzido e concentração do lodo antes e após o processo de desidratação.

Tabela 5: Diário de bordo DML.

DATA				-				DIA	RIO DE BORI	OO DML						
07/06/2024	CICLO	EQUIPE	Operador	Hora Inicio	Hora Fim	Volume [m³]	ST Entrada [%]	Volume Polimero [L]	Dosagem Pollmero [kg/tonlodo]	Concentração Polimero [kg/tonlodo]	Volume FeCl3 [m3]	Concentraç ão FeCl3 [L/m3]	Dosagem FeCl3 [kg/ton] seca	Dosagem FeCl3 [kg/ton] umida	Massa Seca [ton]	ST_Torta [%]
	1	A	Marcos	10:10	13:00	69,0	2,1	961,0	4,2	0,7	2,6	75,3	188,3	1,5	1,5	22,8
	2	E	Pedro J	14:40	17:25	92,0	2,1	1518,0	5,0	0,6	2,8	74,8	187,1	2,0	2,0	22,1
FILTRO PRENSA-1	3	E	Pedro J	18:30	21:10	87,0	2,1	1568,0	5,5	0,7	2,8	74,8	187,1	1,8	1,8	26,4
FILINO PRENSA-1	4	С	Eduardo	23:55	02:40	79,0	2,1	1326,0	5,1	0,7	2,8	72,8	182,1	1,7	1,7	23,0
	5															
	6															
	1	A	Marcos	07:30	10:50	63,0	1,9	868,0	4,6	0,7	2,6	75,3	188,3	1,2	1,2	16,1
	2	E	Pedro J	13:40	16:30	76.0	2.1	1266.0	5.1	0.6	2.8	74.8	187.1	1.6	1,6	23,0
FILTRO PRENSA-2	3	Е	Pedro J	17:35	20:15	79,0	2,1	1417,0	5,4	0,7	2,8	74,8	187,1	1,7	1,7	25,0
FILIROPRENSA-2	4	С	Eduardo	22:40	02:00	85,0	2,1	1448,0	5,2	0,7	2,8	72,8	182,1	1,8	1,8	28,7
	5							- W								
	6			8	8						1		- 3			

Fonte: Autor (2024)



1.7. Confiabilidade de Equipamentos

Através das informações fornecidas pelo relatório de notas do SAP-PM no período de janeiro de 2022 até outubro de 2024, foi levantado o histórico de falhas dos equipamentos do DML. De posse dessas informações, é possível quantificar os dados de confiabilidade do sistema, conforme mostrado na tabela 6.

Tabela 6: Dados de falha dos componentes.

Denominação do loc.instalação		MTTR [h/repard *	
FILTRO PRENSA-1	145	26,8	139,9
FILTRO PRENSA-2	149	22,0	140,2
BOMBA ALIMENT. FILTRO PRENSA BAIXA-1	16	24,4	1486,1
BOMBA ALIMENT. FILTRO PRENSA BAIXA-2	19	30,9	1241,1
BOMBA ALIMENT. FILTRO PRENSA ALTA-1	19	36,0	1236,0
BOMBA ALIMENT. FILTRO PRENSA ALTA-2	20	52,9	1155,5
BOMBA PRESSURIZAÇÃO DIAFRAGMAS-1	10	30,7	2386,1
BOMBA PRESSURIZAÇÃO DIAFRAGMAS-2	7	48,4	3404,2
COMPRESSOR DML-1	15	48,3	1562,9
COMPRESSOR DML-2	2	8,9	12075,1
TANQUE-1-POLÍMERO EM PÓ	10	63,1	2353,7
TANQUE-2-SOLUÇÃO DE POLÍMERO	8	4,3	3016,7
BOMBA DOSAGEM DE CLORETO-1	17	29,7	1391,9
BOMBA DOSAGEM DE CLORETO-2	7	9,9	3442,6
BOMBA DOSAGEM DE POLÍMERO-1	23	98,5	952,3
BOMBA DOSAGEM DE POLÍMERO-2	20	70,2	1138,2
MISTURADOR TANQUE DE REGULARIZAÇÃO	7	33,1	3419,5
MISTURADOR POLÍMERO-1	8	47,8	2973,2
MISTURADOR POLÍMERO-2	13	18,1	1840,9

Fonte: Autor (2024)

Além disso, também foram levantados os principais modos de falha registrados nas notas de manutenção, e elaborado o FMEA do processo sob o ponto de vista de disponibilidade dos equipamentos.

Foram adaptadas as práticas propostas pelo FMEA Handbook (AIAG & VDA, 2019) para elaboração de FMEA acerca dos equipamentos que compõem o DML. Os critérios de avaliação do RPN foram dados como a seguir:

• Ocorrência:

Proporção da frequência, numa escala 0 a 10, do modo de falha, através da relação ao tempo médio entre falhas da posição operacional (MTBF¡I) e do modo de falha em especifico (MTBF¡I), sendo obtido através da equação 6.

$$O = 1 - \left(\frac{MTBF'}{MTBF}\right) * 10$$
 Equação (6)

• Severidade:

Media aritmética, em escala 0 a 10, entre o fator de reparo e o fator de paradas, como demonstrado na equação 7. Onde freparo (Equação 8) se refere a relação entre os tempos médios de reparo do modo de falha específico e de toda a instalação, e fparada (Equação 9) a proporção entre todas as ocorrências e as que ocasionaram indisponibilidade imediata na posição operacional.

$$S = \left(\frac{f_{reparo} + f_{parada}}{2}\right) * 10 \quad Equação (7)$$

$$f_{reparo} = \left(\frac{MTTR_{modo de falha}}{MTTR_{geral}}\right)$$
 Equação (8)

$$f_{reparo} = \left(\frac{n^{\circ}_{indisponibilidade}}{n^{\circ}_{modo\ de\ falha}}\right)$$
 Equação (9)

• Detecção:

Critérios da tabela 2 propostos pelo FMEA Handbook a respeito da eficácia e confiabilidade dos métodos de detecção dos modos de falha.



Por fim, com a mesma base, foi elaborada uma ficha de FMEA para realização da análise, conforme o modelo da tabela 7.

Tabela 7: Formulário para FMEA DML.



Fonte: Autor (2024)

1.8. Confiabilidade de Processo

Com as informações fornecidas pelo diário de bordo do DML foi possível extrair uma base de dados descrevendo os parâmetros médios de 4455 ciclos de prensagem no período de 18 meses (março de 2022 a agosto 2024).

Foram relacionados os parâmetros operacionais de cada ciclo e os parâmetros de qualidade do produto final, que no caso se referem à massa seca de lodo desidratado no ciclo e sua concentração em percentual em sólidos totais.

Baseando-se nas exigências de qualidade do produto, foram estabelecidos três modos de falha possíveis para os ciclos de prensagem:

- Baixa produtividade: Massa seca de lodo inferior a 2ton
- Baixa concentração: Percentual de sólidos totais inferior a 22,5%
- Falha total: Massa seca e concentração não atendidos simultaneamente.

A tabela 8 demonstra a tabulação parcial dos dados e dos tipos de falha possíveis.

Tabela 8: Amostra da base de dados de falha de processo.

Volume_Lodo [m3]	ST_entrada	Volume_Poli mero[L]	mero[kg/tonlo do]	Concentração _Polímero[kg/ tonlodo]	3[m3]	Concentração _FeCI3[L/m3]	CI3[kg/ton]se ca		Massa seca[ton]	ST_torta	Massa_seca(t on)ideal	SI_tortaideai	Falha	Tipo_Falha
100				100	-		100				¥			
85	2,94	2496	5,92	0,48	1170,00	11,82	330,91	827,27	2,499	28,7	2	22,5		OK
50	2,94	1189	4,79	0,48	1170,00	11,82	330,91	827,27	1,47	24,38	2	22,5 X		Baixa Produtividade
49	2,9	1116	4,65	0,48	1170,00	11,82	330,91	827,27	1,421	20,47	2	22,5 X		Falha total
49	2,9	1033	4,31	0,48	1170,00	11,82	330,91	827,27	1,421	21,06	2	22,5 X		Falha total
51	2,9	1042	4,17	0,48	1170,00	11,82	330,91	827,27	1,479	20,07	2	22,5 X		Falha total
51	2,9	962	3,85	0,48	1170,00	11,82	330,91	827,27	1,479	24,21	2	22,5 X		Baixa Produtividade
49	2,94	1163	4,78	0,48	1170,00	11,82	330,91	827,27	1,4406	25,69	2	22,5 X		Baixa Produtividade
91	2,94	2475	5,61	0,48	1170,00	11,82	330,91	827,27	2,6754	28,81	2	22,5		OK
89	2,9	2406	5,66	0,48	1170,00	11,82	330,91	827,27	2,581	26,7	2	22,5		OK
83	2,9	2300	5,80	0,48	1170,00	11,82	330,91	827,27	2,407	29,87	2	22,5		OK
54	2,9	1210	4,69	0,48	1170,00	11,82	330,91	827,27	1,566	24,7	2	22,5 X		Baixa Produtividade
54	2,9	1041	4,03	0,48	1170,00	11,82	330,91	827,27	1,566	25,45	2	22,5 X		Baixa Produtividade
85	2,9	2297	4,47	0,48	1170,00	11,82	330,91	827,27	2,465	29,37	2	22,5		OK
88	2,9	2521	4,74	0,48	1170,00	11,82	330,91	827,27	2,552	22,11	2	22,5 X		Baixa Concentração
92	2,9	2576	4,63	0,48	1170,00	11,82	330,91	827,27	2,668	22,65	2	22,5		OK
89	2,9	2452	4,56	0,48	1170,00	11,82	330,91	827,27	2,581	23,16	2	22,5		OK
45	2,9	1274	4,69	0,48	1170,00	11,82	330,91	827,27	1,305	24,17	2	22,5 X		Baixa Produtividade
91	2,94	2417	5,30	0,48	1170,00	11,82	330,91	827,27	2,6754	31,29	2	22,5		OK
86	2,94	2314	5,37	0,48	1170,00	11,82	330,91	827,27	2,5284	23,91	2,00	22,5		OK
87	2,94	2542	5,83	0,48	1170,00	11,82	330,91	827,27	2,5578	19,11	2	22,5 X		Baixa Concentração
90	2,97	2597	5,70	0,48	1170,00	11,82	330,91	827,27	2,673	23,12	2	22,5		OK
90	2,9	2583	5,81	0,48	1170,00	11,82	330,91	827,27	2,61	26,19	2	22,5		OK

Fonte: Autor (2024)

Baseando-se nas informações de falha do processo, foi realizada uma análise de confiabilidade dos dois filtros prensa do sistema, considerando a quantidade de falhas por ciclo para o cálculo do tempo médio entre falhas (MTBF).

Além disso, foi possível fornecer os dados organizado como base de treinamento para algoritmos de ML Para isso, foi construído um modelo capaz de prever os modos de falha predeterminados de acordo com as diversas variações de parâmetros como vazões de lodo, polímero e cloreto férrico, concentração na diluição dos produtos químicos, velocidade de alimentação do filtro prensa, volume e concentração de entrada do lodo e até mesmo parâmetros humanos, como turno e operador responsável.

Para investigar os parâmetros que possuem maior influência nos modos de falha determinados e possibilitar sua previsão, foram empregados os modelos Decision Tree e K-Nearest Neighbors (KNN), desenvolvidos através de um Python notebook. Depois, foram aferidas suas precisões com o objetivo de determinar e considerar o método mais adequado.

4 Análise e Discussão dos Resultados

A seguir, são apresentados os resultados das duas etapas seções do estudo:

1.1. Análise de Disponibilidade

A partir dos dados levantados, foi possível calcular e quantificar a confiabilidade dos componentes baseando-se no valor mínimo de MTBF (tempo médio entre falhas) da tabela 6, equivalente a 140 horas, com o qual foram extraídos os índices de confiabilidade de cada componente individualmente. Estes valores foram organizados e apresentados no Diagrama de Blocos (Figura 13), permitindo a visualização da confiabilidade global do sistema.

Figura 13: Diagrama de blocos do DML.

Fonte: Autor (2024)

Utilizando as equações 3 e 4, aplicadas ao modelo do diagrama de blocos ilustrado na figura 13, foi calculada a confiabilidade global do sistema de desidratação de lodo, que resultou em 42% para um tempo de operação de 140 horas, com comportamento conforme ilustrado na Figura 14. A análise também revelou que os componentes com maior impacto na confiabilidade do sistema são os dois filtros prensa, que desempenham o papel de equipamentos principais do processo.



Figura 14: Curva de confiabilidade do DML.

Fonte: Autor (2024)

Com a aplicação do FMEA foi possível identificar as posições operacionais mais críticas e propor ações de correção. Destacam-se os Misturadores de Polímero, as Bombas Alimentação e o Filtro Prensa, que apresentam altos valores de NPR e uma alta recorrência de falhas.





As principais falhas incluem desarmes, vazamentos, obstruções, panes elétricas e hidráulicas, sendo que possuem potencial de interromper ou prejudicar a continuidade do processo de produção de lodo.

Foram levantadas e recomendadas ações preventivas, que envolvem manutenção regular, inspeções periódicas e intervenções nos sistemas elétrico, hidráulico e mecânico, visando reduzir os riscos de indisponibilidade e otimizar a eficiência operacional.

A tabela 9 mostra os principais modos de falha que foram levantados durante a análise:

POSICÃO OPERACIONAL EFEITO DA FALHA POTENCIAL CAUSA POTENCIAL DE FALHA ACCES RECOMENDADAS interrupção da mistura lodo-polimero Monitorar corrente no motor e verificar possive travamento mecânico. MISTURADOR POLÍMERO Sobrecarga elétrica Não Redução no desempenho le parada total de Conjunto rotor-estator Monitorar rendimento das bombas e realizar substituiçã BOMBA ALIMENT, FILTRO PRENSA 8 9 6 417 pressuriza desgastado/danificado produção. Interrupção no bombeamento, alterando a periódica Verificar sistema elétrico e possiveis sobrecargas na 7 9 6 403 BOMBA DOSAGEM DE POLÍMERO Sobrecarga elétrica ou faiha no motor Desame dosagem ideal de polmero.
Parada total do processo de alimentação do fitro prensa. Obstrução no rotor ou nas linhas de sucção recalque. BOMBA ALIMENT, FILTRO PRENSA 8 9 6 396 Inspecionar rotor e linha, realizar limpeza periódica bombela Interrupção do processo devido a falhas Alarmes no Supervisorio 6 10 6 382 FILTRO PRENSA Falha de sensores ou comunicação. recorrentes detectadas. comunicação com o sistema supervis Interrupção no ciclo de fitragem, causando Acúmulo de residuos ou faha mecânica 7 9 6 363 na válvula. Válvula inspecionar válvula, realizar manutenção preventiva e FILTRO PRENSA specional varvia, realizar manutar-gao pre Impezas periódicamente. nspeção periódica do sistema hidráulico, v componentes mecânicos, realizar manute travada Faiha de componentes como válvulas e atuadores. FILTRO PRENSA Paralisação total do fitro prensa. 7 10 5 360 preventivas. Inspeção periódica e manutenção preventiva MISTURADOR POLÍMERO Vazamento Contaminação e quelma do motor Selo mecánico danificado 10 7 5 333 Parada do equipamento para substituição. Atrasos na produção e custos de reparo. Sobrecarga mecânica ou operação Inadequada do sistema hidráulico. Placas de fitro entupidas, saturação do Placa quebrada Não FILTRO PRENSA 8 8 5 321 Perda de produtividade. FILTRO PRENSA pressuriza Falha no designation 6 8 6 289 Realizar troca das telas fitrante FILTRO PRENSA 7 10 4 275 Interrupção no descarregamento. interrupção na dosagem do polim prejudicando a qualidade do proci Perda de pressão, comprometen eficiência do sistema. Obstrução no rotor ou nas linhas de sucção recalque. inspecionar rotor e linha, realizar limpeza periódica BOMBA DOSAGEM DE POLÍMERO Não dosa 6 9 5 273 Faiha na vedação ou conexides froucas. 7 7 6 269 Substitur vedações, revisar conexides, realizar manutenção preventiva.

Costrução nas inhas de suoção ou 6 9 5 257 Inspectionar rotor e inhas de suoção, venticar motor desgaste do rotor.

Vedações desgastadas 7 9 4 250 Substitur vedações e consides. Realizar manutenção preventiva.

Sobrecarga elétrica ou talha no motor. 6 8 5 247 Venticar faihas elétricas e realizar ajustes no sistema controle. IBA PRESSURIZAÇÃO DIAFRAGMAS Vazamento BOMBA ALIMENT FILTRO DRENSA Baixa vazão Baixa eficiência no processo de filtração. Vazamento Perda de fluido, prejudicando o processo de filtração. FILTRO PRENSA Desame Intempo a na dosagem de cloreto, Impactando o processo químico.

Vazamento Penda de fluido, prejudicando a alimentação do titros prensa
Parada da alimentação do fitro, interrompendo o processo de fitração. BOMBA DOSAGEM DE CLORETO BOMBA ALIMENT, FILTRO PRENSA 4 9 6 236 Sobrecarga elétrica ou faiha no motor. | 5 | 8 | 6 | 233 | Verificar faihas elétricas e realizar ajustes no si BOMBA ALIMENT, FILTRO PRENSA Interrupção imediata total da produção e FILTRO PRENSA 6 9 4 210 Realizar manutenção preventiva.
Troca de filtros, teste de valvulas, limpeza de linha, etc COMPRESSOR DML superaque dimento do motor. esgaste ou faiha nas conexión edações ou no sistema de selagem da 6 8 4 191 Substituir vedações, inspecionar e ajustar conexões da bomba. BOMBA DOSAGEM DE POLÍMERO sagem correta e a qualidade do FILTRO PRENSA Entuplimento nas linhas de entrada ou 7 7 4 182 Diminuição na eficiência do ciclo de Limpar entradas e saidas, realizar manutenção nos

Tabela 9: FMEA DML.

Fonte: Autor (2024)

Concentração insuficiente de cloreto no

Redução na eficiência do sistema devido à Obstrução na saida do tanque ou faiha no 5 5 5 5 126

desgaste das bombas associadas.
Acúmulo de residuos ou falha mecânica 6 5 6 169

na válvula. Defeito nos sensores, faiha de calibração ou problema de comunicação com o sistema de controle.

mecanismo de alimentação. Obstrução na linha ou desgaste da

1.2. Análise do Processo

BOMBA PRESSURIZAÇÃO DIAFRAGMAS

FILTRO PRENSA

TANQUE-1-POLÍMERO EM PÓ

BOMBA DOSAGEM DE CLORETO

Balxa vazão

travada

Não dosa

A avaliação de confiabilidade dos filtros-prensa com base na quantidade de falhas por ciclo de operação forneceu valores de MTBF que indicaram uma maior confiabilidade relativa do Filtro Prensa-1, com valores de 1,49 ciclos, em comparação ao Filtro Prensa-2, que apresentou 1,19 ciclo até a falha.

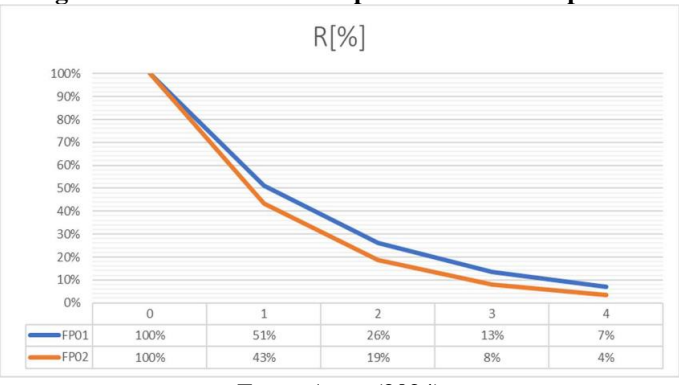
A curva de confiabilidade mostrada na figura 15 mostra uma redução acentuada na probabilidade de funcionamento sem falhas nos dois filtros, já após o primeiro ciclo. No caso do Filtro Prensa-1, a confiabilidade decresce para 51% após o primeiro ciclo e para 13% no terceiro ciclo. Já o Filtro Prensa-2 apresenta uma taxa ainda mais rápida de declínio, com apenas 43% de confiabilidade após o primeiro ciclo e 8% no terceiro ciclo.

inspecionar e limpar a salda do tanque, realizar

manutenção preventiva no mecanismo de alimentaçã

5 5 4 101 hspecionar linha de dosagem, realizar manutenção bombas e monitorar fluto de cioreto.

Figura 15: Confiabilidade do processo nos filtros prensa.



Fonte: Autor (2024)

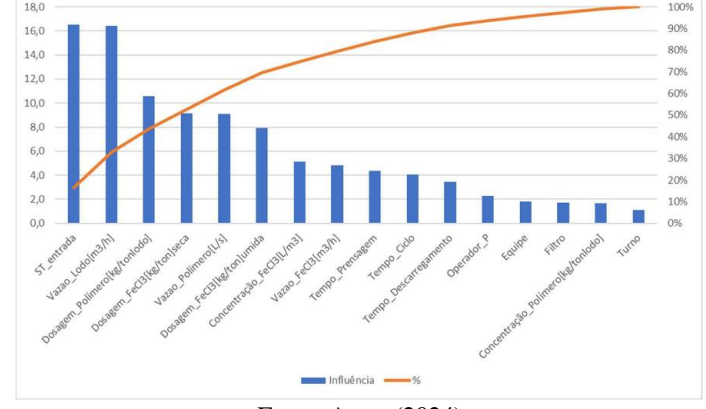
Esses resultados evidenciam a necessidade de intervenções preditivas para garantir que o desempenho operacional do DML E por este motivo, a integração dessa análise com o modelo de ML se faz importante, pois possibilita identificar os parâmetros que mais influenciam as falhas.

O algoritmo aplicado no processo de desidratação de lodo da ETE São Miguel demonstrou resultados promissores, já que foi capaz de prever com eficiência os tipos de falhas operacionais, considerando variações nos parâmetros do processo.

O modelo escolhido por ser mais eficiente foi Decision Tree, que apresentou uma acurácia de 88%, frente a 79% do modelo KNN. Embora modelos desse tipo possuam potencial para previsões mais precisas, este grau de acerto já indica que a ferramenta pode apoiar satisfatoriamente a prevenção de falhas operacionais.

Os parâmetros operacionais com maior influência na previsão dos modos de falha foram ponderados pela árvore de decisão, identificados e ordenados em graus de importância, como mostra a figura 16. Os mais relevantes foram a concentração de sólidos totais na entrada (16,50) e a vazão de lodo (16,42), seguidos pela dosagem de polímero (10,56) e pela dosagem de cloreto férrico (9,15). Parâmetros humanos, como o operador responsável e o turno, apresentaram menor impacto, com valores de 2,28 e 1,09, respectivamente.

Figura 16: Pareto - Fatores de influência para falhas operacionais. 16,0



Fonte: Autor (2024)

Esses resultados confirmam que os parâmetros físico-químicos do lodo a ser desidratado e concentração de insumos químicos têm papel decisivo no desempenho do processo. Além disso, a utilização do modelo permite maior previsibilidade e controle, possibilitando que estes fatores sejam ajustados durante o processo, favorecendo assim, a redução significativa da ocorrência de falhas.



CIK 13th INTERNATIONAL CONFERENCE

Também foi possível identificar quais equipamentos ou etapas do processo influenciam nos principais parâmetros que impactam a confiabilidade da desidratação de lodo. A tabela 10 relaciona os parâmetros a esses fatores, indicando que predominantemente o desempenho das bombas de alimentação de lodo, de dosagem de produtos químicos, filtros prensa são de suma importância na garantia da confiabilidade do processo.

Tabela 10: Relação de influências.

3						
FATORES DE INFLUÊNCIA						
Qualidade dos processos anteriores (Adensamento ou Biodigestão)						
Desempenho das bombas de alimentação						
Desempenho dos filtros prensa						
Desempenho das bombas de dosagem						
Determinação de dosagem adequada conforme ST de entrada						
Medição de vazão confiável na alimentação de lodo e de polímero						
Desempenho das bombas de dosagem						
Desempenho do misturador do tanque de regularização						
Determinação de dosagem adequada conforme ST de entrada						
Medição de volume de lodo e Fe3Cl confiáveis no tanque de regularização						
Desempenho das bombas de dosagem						
Determinação da concentração adequada						
Desempenho das bombas de dosagem						
Desempenho das bombas de alimentação, dosagem e filtros prensa						

Fonte: Autor (2024)

5 Conclusão

A análise de confiabilidade do processo de desidratação de lodo da ETE São Miguel teve como objetivo identificar os modos de falha que mais comprometem a operação contínua e eficiente do sistema. Os resultados demonstraram que ferramentas como FMEA e Machine Learning são eficazes na identificação de padrões de falhas e na proposição de ações corretivas e preventivas que asseguram a disponibilidade e produtividade do processo.

A associação do diagrama de blocos ao FMEA possibilitou a priorização de componentes críticos, destacando filtros-prensa, misturadores de polímero e bombas de alimentação como os principais responsáveis pela indisponibilidade. A partir dessa análise, foi possível propor estratégias de manutenção com foco em inspeções regulares e intervenções planejadas, que podem mitigar significativamente os impactos dessas falhas.

A aplicação de modelos de Machine Learning, em especial Decision Tree, apresentou alta acurácia na previsão de modos de falha com base nos parâmetros operacionais. Essa abordagem destacou a condição do lodo digerido e a qualidade do condicionamento químico como os fatores mais influentes no desempenho do sistema. Com base nesses resultados, ajustes proativos nos parâmetros operacionais podem otimizar o processo, reduzindo falhas e melhorando a eficiência geral.

Conclui-se que a integração de técnicas tradicionais de análise de confiabilidade com ferramentas avançadas de inteligência artificial representa uma abordagem promissora para a otimização de processos complexos. Essa integração não apenas melhora a eficiência operacional, mas também contribui para a sustentabilidade do processo, alinhando-se às melhores práticas de gestão de ativos e à legislação ambiental vigente.

Espera-se que este trabalho forneça subsídios para a implementação de ações concretas e inspire futuras pesquisas voltadas à aplicação de tecnologias avançadas na análise e otimização de processos industriais. Além disso, recomenda-se a adoção de ferramentas preditivas em tempo real ou de estratégias mais robustas, de modo a maximizar a confiabilidade e sustentabilidade do sistema a longo prazo.





6 Referências

- 1. Automitive Industriy Action Group & Verband der Automobilindustrie; Failure Mode and Effects Analysis FMEA Handbook Michigan, USA, 2019, ISBN 978-1-60534-367-9.
- 2. ASSOCIAÇÃO BRASILEIRA DE NORMAS TÉCNICAS. NBR 5462: Confiabilidade e Mantenabilidade Referências Elaboração. Rio de Janeiro, 1994.
- 3. Ferreira, L. O. de P., Lara, H. S., Dantas, G. do C., & Brito, J. N. (2024). Detecção de falhas mecânicas através de diferentes técnicas de machine learning. Revista Observatório De La Economía Latinoamericana, 22(9), e6780. Disponível em: https://doi.org/10.55905/oelv22n9-137
- 4. IBM; What is the KNN algorithm?; Disponível em: https://www.ibm.com/topics/knn#:~:text=The%20k%2Dnearest%20neighbors%20(KNN, used%20in%20machine%20learning%20today.; Acessado em: 20/11/2024.
- 5. Lewis, E.E. Introduction to Reliability Engineering, 2nd edition, John Wiley & Sons, Inc. New York, 1987.
- 6. Micronics, Engineered Filtration Group; O que é desidratação de lodo e para que é utilizado? Site da companhia. Disponível em: https://www.micronicsinc.com/pt-br/filtration-news/what-is-sludgedewatering/#:~:text=A%20desidrata%C3%A7%C3%A3o%20de%20lodo%20%C3%A9,de%20volta%20ao%20meio%20ambiente.; Acessado em: 21/09/2024
- 7. Miki, M. K.; Utilização de polímeros para condicionamento de lodo de ETE para desidratação em filtro prensa de placas. Dissertação de mestrado, Escola Politécnica da Universidade de São Paulo Poli-USP, São Paulo, Brasil, 1998.
- 8. Netzsch; Filtro prensa tipo câmara e tipo membrana. Catálogo Pomerode, s.d.
- 9. Oliveira, S.M.A.C.; Análise de desempenho e confiabilidade de estações de tratamento de esgotos. Universidade Federal de Minas Gerais, Belo Horizonte, MG, 2006.
- 10. ReCESA; Esgotamento Sanitário Processos de Tratamento de Esgotos Nível 1; Brasil; ReCESA Rede de Capacitação e Extensão Tecnológica em Saneamento Ambiental, 2013.
- 11. Rech, G.; Anzanello, M.J.; Dutra, C.C; Curvas de aprendizado e FMEA na análise do processo de separação manual de uma distribuidora de medicamentos. Revista Produção Online, Florianópolis, SC, v.13, n.3, p.873-892, jul/set. 2013, ISSN 1676-1901.
- 12. Silva, P.P.; Aprendizado de máquina na análise do perfil da inadimplência no Conselho Regional de Enfermagem do Rio Grande do Sul. 52 f., il. Dissertação (Mestrado em Economia) Universidade de Brasília, Brasília 2020.
- 13. Viana, H.R.G.; PCM-Planejamento e Controle da Manutenção. 2ªEd., Rio de Janeiro, RJ, Qualitymark Editora, 2022, ISBN 978-85-414-0409-9.
- 14. Xing L., Christos E. A., Nitin P. P., Brian W. S., Huajian G.; A machine learning approach to fracture mechanics problems. Elsevier, Acta Materialia 190 (2020), p.105-112, 2020